

	فصلنامه علمی ((دفاع هوافضایی)) دوره ۲، شماره ۱، خرداد ۱۴۰۲	
مقاله پژوهشی		

مطالعه آزمایشگاهی و عددی مقاومسازی بستر خاکی در مقابل انفجار با استفاده از لایه‌های ژئوگرید برای مقاومسازی سازه‌های زیرزمینی بر مبنای اصول پدافند

غیرعامل

حسن صالحی^۱

۱- مدیر گروه مواد و پدافند غیرعامل، دانشکده مهندسی مکانیک دانشگاه پدافند هوایی خاتم الانبیاء (ص)

اطلاعات مقاله	چکیده
پذیرش: ۱۴۰۲/۰۲/۱۶	در این مطالعه، عملکرد لایه‌های مختلف ژئوگرید در مقاومسازی خاک‌هایی با مدول الاستیسیته و زاویه‌های اصطکاکی مختلف مورد بررسی قرار گرفته است. بدین منظور ضمن انجام مطالعه آزمایشگاهی، مدل‌سازی عددی نیز با استفاده از نرم‌افزار المان محدود آباکوس در دو حالت استاتیکی و انفجاری روی بستر غیرمسلح و مسلح به ژئوگرید انجام شد. نتایج مطالعات انجام شده بر روی خاک‌هایی با مشخصات متفاوت نشان می‌دهد که در درصد تراکم ثابت، با کاهش چسبندگی خاک عملکرد ژئوگرید بهبود می‌یابد. برای بستر خاکی با مدول الاستیسیته‌های ۱۰، ۵۰ و ۱۰۰ مگا پاسکال، در حالت بارگذاری استاتیکی تأثیر لایه‌های ژئوگرید در بهبود میزان نشتت پی به ترتیب حدود ۷۵٪/۶۵٪ و ۵۴٪ است. در بارگذاری انفجاری نیز عملکرد لایه‌های تسليح نسبت به حالت استاتیکی افزایش یافته و میزان بهبود نشتت پی به ترتیب به حدود ۷۹٪/۷۲٪ و ۵۴٪ می‌رسد. همچنین در خاک‌هایی با مدول الاستیسیته یکسان، با افزایش ضربی اصطکاک داخلی خاک، میزان نشتت آن کاهش می‌یابد.
دریافت: ۱۴۰۱/۰۷/۰۳	کلمات کلیدی: بارگذاری انفجار، نشتست، تسليح خاک، ژئوگرید، روش اجزای محدود
نویسنده مسئول:	حسن صالحی
ایمیل:	hsalehi1362@yahoo.com

استناد به مقاله: حسن صالحی. مطالعه آزمایشگاهی و عددی مقاومسازی بستر خاکی در مقابل انفجار با استفاده از لایه‌های ژئوگرید. مجله علمی پژوهشی دفاع هوافضایی دوره ۲، شماره ۱، خرداد ۱۴۰۲.



Journal of Aerospace Defense
Vol. 2, No. 1, 1402



Research Paper

Laboratory and numerical study of strengthening soil bed against explosion using geogrid layers to strengthen underground structures based on the principles of passive defense

Hasan Salehi¹

1- Assistant Professor of Department of Mechanical Engineering, Khatam Ol Anbia

Article Information

Accepted: 1402-02-16

Received: 1401-07-03

Keywords:

BlastLoading, Soil Settlement, Soil Reinforcement, Geogrid, Finite Element Method.

Corresponding author:

Hasan Salehi

Email:

hsalehi1362@yahoo.com

Abstract

In this paper, the efficiency of the bedrock grain's characteristics on the performance of its layers was investigated. For this purpose, experimental and numerical studies were performed using ABAQUS software in both static and dynamic conditions. The performances of the geogrid layers in various types of soils by different values of elastic modulus and frictional angles were investigated. It was observed that increasing soil adhesion at a constant concentration, enhanced loading capacity, and reduced the reinforcing efficiency. Study on different soil types by various specifications showed that for soil substrates by values of elastic modulus of 10, 50 and 100 MPa, the effects of the layers of the reinforcement on improving the Settlement were about 75%, 65% and 54%, respectively. In dynamic loading mode, the performance of the reinforcement layers increased compared to static loading, and the improvements of the Settlement were 79%, 72% and 54%, respectively.

HOW TO CITE: Hasan Salehi. Experimental and Numerical studies of Reinforcing Soil Substrate Against Explosion Loads Using Geogrid Layered. Journal of Aerospace Defense, Vol. 2, No. 1, 1402.

۱. مقدمه

در سال‌های اخیر زندگی انسان‌ها در نقاط مختلف جهان به دلیل وجود تهدید جنگ و بهخصوص شیوه حملات تروریستی، بیش از گذشته تهدید می‌شود که لزوم ایمن‌سازی سازه‌های مختلف در مقابل این تهدیدها را نمایان می‌سازد. به همین دلیل تحلیل و طراحی سازه‌های مختلف عمرانی تحت بار انفجار به خصوص برای سازه‌های استراتژیک نظیر فرودگاه‌ها، پالایشگاه‌ها، بنادر، مراکز عمدۀ فرماندهی و تصمیم‌گیری، مراکز اصلی مخابراتی و ارتباطی، پل‌های استراتژیک، سایت‌های موشکی و غیره دیگر نه یک امر محافظه کارانه هزینه‌بر که یک اصل و ضرورت اجتناب‌ناپذیر به شمار می‌آید. بهبود مقاومت و باربری خاک تحت اثر انواع بارهای واردۀ، همواره به عنوان یکی از مسائل مهم در مهندسی ژئوتکنیک مطرح بوده است. زیرا خاک عضو باربر غالب پروژه‌های عمرانی بوده و در بسیاری از موقع احداث یک سازه به دلیل باربری کم خاک بستر یا نشست زیاد آن، غیر ممکن خواهد بود. از سوی دیگر از دیدگاه پدافند غیرعامل، درک رفتار خاک تحت بار انفجار برای مهندسان ژئوتکنیک، معدن و طراحان سازه‌ها از اهمیت بالایی برخوردار است.

صالحی و همکاران [۱] نفوذ بمبهای سنگرشکن را در سازه‌های زیر زمینی بررسی کرده و برای محیط‌های بتی و خاکی مقادیر نفوذ این تسلیحات را برآورد نمودند. آنها هم‌چنین ثابت نمودند که با مسلح کردن خاک با لایه‌های بتی، نفوذ این سلاح تا حدود ۵۰ درصد نسبت به حالت غیرمسلح، کاهش می‌یابد. از دیگر مطالعات صورت گرفته توسط صالحی و همکاران [۲] که در راستای بررسی سازه‌ها در مقابل بار انفجار است می‌توان به مقاله تعیین شکل بهینه آشیانه هواپیما برای مقابله با بار انفجار اشاره نمود. در مطالعه‌ای دیگر برای کاهش تأثیر انفجار بر خاک، از ستون‌های سنگریزه‌ای کوبشی و غیرکوبشی استفاده شد [۳]. نتایج این تحقیق نشان داد که افزایش قطر ستون سنگریزه‌ای کوبشی و طول ستون سنگریزه‌ای غیرکوبشی کارایی بهتری در بهبود ظرفیت باربری و نشست شالوده دارند به‌طوری‌که با ستون سنگریزه‌ای غیر کوبشی می‌توان تا ۴۲ درصد نشست پی را کاهش داد.

۲. پیشینه تحقیق

در دهه‌های اخیر، در میان شیوه‌های مختلف تثبیت و بهسازی خاک، استفاده از مواد مصنوعی با دوام و قابل اطمینان به عنوان راه حلی اساسی جهت بهبود باربری خاک و پی مطرح شده است. به تدریج با گسترش صنعت پلیمر و با پذیرش نقش کاربردی این قبیل تولیدات، طرح و ساخت این مصنوعات نظیر ژئوستنتیک‌ها جهت استفاده در پی‌سازی، محوطه‌سازی و نیز در پروژه‌های راه‌سازی توسعه یافته است [۴]. مهم‌ترین عضو خانواده ژئوستنتیک‌ها، ژنوسل، ژنوجرید و ژنوتکستایل‌ها هستند که با ارتقا کیفیت خاک، در زمینه‌های مختلف علوم مهندسی و مکانیک خاک نقش مؤثری ایفا می‌کنند [۴]. ژنوجریدها به عنوان یکی از انواع ژئوستنتیک‌ها، جهت تسلیح خاک‌های سست استفاده می‌شوند. مطالعات

دینامیکی صورت گرفته در زمینه خاک مسلح به ژئوگرید بسیار محدود است که از آن جمله می‌توان به مطالعات آزمایشگاهی داس و همکارانش [۵] اشاره نمود. آن‌ها رفتار خاک مسلح شده با ژئوگرید بر روی پی نواری را تحت بار سیکلی بررسی کرده و نتیجه گرفته‌ند که وجود ژئوگرید حدود ۲۰ تا ۳۰ درصد نشست دائمی خاک را کاهش می‌دهد. عسکری و همکاران [۶] نیز به مطالعه رفتار خاک مسلح به ژئوگرید تحت اثر بار سیکلی وارد به شالوده سطحی پرداخته و نتیجه گرفته‌ند که حداکثر ظرفیت باربری زمانی به دست می‌آید که عمق قرارگیری اولین لایه ژئوگرید نسبت به عرض پی کمتر از $35/0$ باشد. تحقیقات نشان می‌دهد که در خاک‌های مسلح شده با ژئوگرید، تحت تنش محوری ثابت، با تغییر جهت برش، مقاومت برشی مقطع نیز تغییر می‌کند [۷]. این تغییرات در حالت مسلح نمودن دو محوری خاک با ژئوگرید بسیار محسوس‌تر از حالت سه محوری است. البته در این میان اندازه ذرات خاک نیز از عوامل بسیار تأثیرگذار بر مقاومت برشی خاک مسلح شده با ژئوگرید عنوان می‌گردد [۸].

شین و همکاران [۸] برای تخمین مدول برشی خاک، به انجام آزمایش‌های بارگذاری سیکلی بر روی خاک‌های دانه‌ای و لایه‌ای مسلح به ژئوگرید پرداختند. نتایج نشان دهنده افزایش مدول برشی به دلیل وجود لایه‌های ژئوگرید بود که این افزایش ناشی از سختی ژئوگرید، فاصله بین لایه‌ها و همچنین عرض لایه‌ها نسبت به عرض صفحه بارگذاری بود. نوری و هاشمی [۹] پایداری دیوارهای مسلح ژئوگریدی تحت بارهای استاتیکی و دینامیکی را بررسی کرده و سپس تغییر شکل افقی، قائم و میزان کرنش پلاستیک دیوار خاک مسلح پس از انفجار را در حالت بدون شاتکریت و با شاتکریت به کمک نرم‌افزار آباکوس ۱ بررسی نمودند. طبق نتایج بررسی آن‌ها، تغییر مکان حداکثر افقی و قائم و نیز کرنش پلاستیک سطح دیوار در حالت با شاتکریت نسبت به حالت بدون شاتکریت کاهش قابل توجهی داشت.

چیو و همکاران [۱۰] دیوارهای خاکی مسلح به ژئوستنتیک را تحت مجموعه‌ای از انفجارات قرار دادند. نتایج مطالعه آن‌ها نشان داد که دیوارهای مسلح مانع انتشار فشار ناشی از امواج انفجار شده و با جذب انرژی به هنگام تغییر شکل، میزان تخریب را کاهش می‌دهند. همچنین آن‌ها دریافتند که دیوارهای خاکی مسلح به ژئوستنتیک نه تنها ترکش‌های ناشی از انفجارات سلاح را در خود نگه می‌دارند بلکه همانند دیوارهای بتني در مقابل ترک خودگی از خود مقاومت نشان می‌دهند. در همین راستا، حضوری [۱۱] به ارزیابی پاسخ خاک‌ریز مسلح (به پانل‌های بتني) در مقابل فشارهای ناشی از انفجارات مدفون پرداخته و با انجام آزمایش‌هایی در مقیاس واقعی، پاسخ دیوارها به فشارهای حاصل از انفجار را بررسی نمود. نتایج نشان داد که بارگذاری غالب در حین انفجار، تنש‌های پسماندی هستند که در پروسه تشکیل گودال انفجار در خاک ایجاد می‌شود.

۳. روش تحقیق و روش محاسبات

۳-۱. ضرورت و روش انجام تحقیق

بر اساس مطالعات صورت گرفته مشخص شده است که رفتار خاک متأثر از خصوصیات فیزیکی و مکانیکی ذرات تشکیل دهنده آن بوده و با توجه به تفاوت در ویژگی‌های این ذرات، برابری و رفتار آن دچار تغییر می‌گردد. مطالعاتی که تاکنون انجام شده است غالباً در یک نوع خاک انجام گرفته و به بررسی تأثیر شرایط مختلف ژئوگرید مورد استفاده از قبیل طول و عرض، عمق قرارگیری، سختی مسلح کننده‌ها و سایر موارد پرداخته‌اند. در موارد متعددی از این مطالعات، حتی مشخصات خاک مربوطه نیز گزارش نشده است. از طرفی بررسی عملکرد لایه‌های ژئوگرید در بسترهای خاکی مختلف که هر یک مشخصات فیزیکی و مکانیکی متفاوتی دارند، در مطالعات پیشین بررسی نشده است. لذا علیرغم ارزشمند بودن این تحقیقات، به دلیل خصوصیات فیزیکی و مکانیکی متفاوت انواع بسترهای خاکی نمی‌توان نتایج حاصل از آن‌ها را معیاری برای عملکرد ژئوگریدها در همه‌ی خاک‌ها دانست. بنابراین در این مطالعه رفتار خاک‌های مختلف، تحت شرایط بارگذاری استاتیکی و انفجاری در حالت خاک مسلح و غیرمسلح با ژئوگرید مورد بررسی قرار گرفته است. در این مقاله به منظور شناخت بهتر عملکرد لایه‌های ژئوگرید در بهبود برابری انواع مختلف خاک بستر، تأثیر عواملی همچون تغییرات چسبندگی، مدول الاستیسیته و زاویه اصطکاک داخلی ذرات خاک با بهره‌گیری از نرم‌افزار آباکوس در حالت بارگذاری دینامیکی و استاتیکی بررسی شده است. بدین منظور ابتدا با استفاده از مطالعه آزمایشگاهی سه نوع خاک با چسبندگی‌های مختلف مورد بررسی قرار گرفتند. بعد از انجام مطالعه میدانی، بر اساس آن‌ها صحت‌سنگی نرم‌افزار آباکوس صور گرفت. سپس نه نوع خاک با مدول الاستیسیته و زاویه اصطکاک داخلی مختلف مدنظر قرار گرفته و مدل‌سازی‌های مربوطه با استفاده از آن‌ها انجام و مقایسه نتایج صورت پذیرفت. از طرف دیگر، این مطالعه بر گسترش دانش جامعه علمی در زمینه افزایش مقاومت بستر خاکی در مقابل انفجار با استفاده از لایه‌های ژئوگرید تأکید دارد، بنابراین می‌توان آن را یک تحقیق بنیادی دانست. اما از آنجایی که از نتایج این مطالعه می‌توان برای یافتن راه حل‌هایی برای رفع مشکلات حاضر استفاده نمود قابلیت کاربردی شدن را نیز دارا است.

۳-۲. فشار انفجار

با توجه به این که در بین انواع انفجارها، انفجار سطحی بیشترین احتمال وقوع را داشته و نیروی انفجاری آن نیز بیشتر است [۱۲]، از مفروضات این نوع انفجار جهت تحلیل استفاده شده است. به منظور مدل‌سازی دقیق و درست انفجار TNT از معادله حالت JWL در نرم‌افزار ABAQUS استفاده شد. این معادله حالت، رابطه‌ای بین فشار ماده منفجره و چگالی آن در هر لحظه برقرار می‌کند که پارامترهای آن از آزمایش به دست می‌آید. فرم عمومی این معادله به صورت رابطه (۱) است.

$$P = A \left(1 - \frac{\omega \rho}{R_1 \rho_0} \right) \cdot e^{\left(-R_1 \frac{\rho_0}{\rho} \right)} + B \left(1 - \frac{\rho}{R_2 \rho_0} \right) \cdot e^{\left(-R_2 \frac{\rho_0}{\rho} \right)} + \frac{\omega \rho^2}{\rho_0} E_{m0} \quad (1)$$

که در آن A ، B و R_1 و R_2 ثابت‌های معادله، E_{m0} معادله ویژه اولیه، ρ_0 چگالی اولیه ماده منفجره و

۶ چگالی محصولات حاصل از فرآیند انفجار هستند. لازم به ذکر است که مقدار چگالی اولیه و چگالی محصولات حاصل از انفجار در لحظه اول انفجار با هم برابر است. زمان انفجار برابر ۱۵ میلی ثانیه محاسبه شده است. وزن ماده انفجاری TNT برابر ۶۲ کیلوگرم و محل در فاصله ۵ متری از پی در نظر گرفته شده است [۱۳]. سایر مشخصات مربوط به ماده منفجره استاندارد در جدول (۱) بیان شده است.

جدول ۱: مقادیر پارامترهای مدل انفجار

مقدار	پارامتر
TNT	ماده انفجاری
۳۶۸۰	تراکم انرژی انفجار
۱۶۳۰	چگالی، (kg/m^3)
۶۹۳۰	سرعت موج انفجار (m/s)
۳۷۳۸۰۰	(MPa) A
۳۷۴۷	(MPa) B
۰/۳۵	W
۴/۱۵	R_1
۰/۹	R_2

در پدیده انفجار، امواجی در محیط خاک تولید می شود که به صورت کروی انتشار می یابند. در صورتی که سازه ای در خاک مدفون نباشد، فشار حاصل از این امواج را فشار میدان آزاد می نامند. زمانی که موج به یک سازه برخورد کند، تغییراتی در مقدار آن اتفاق می افتد. دستور العمل طراحی ایمن بر مبنای داده های آزمایشگاهی، رابطه تجربی زیر را برای توزیع فشار میدان آزاد بر حسب فاصله و زمان ارائه می دهد [۱۴].

$$P = P_a e^{-\frac{t}{t_a}} = f \beta \rho c \left(\frac{R}{W^{\frac{1}{3}}} \right)^{-n} e^{-\frac{t}{t_a}} \quad (2)$$

که در آن P فشار ایجاد شده ناشی از انفجار در طول زمان، f ضریب همبستگی انرژی انفجار ^۱، t_a زمان (که از لحظه رسیدن موج محاسبه می شود) و R فاصله از نقطه انفجار بر حسب فوت و W وزن معادل TNT بر حسب پوند، n ضریب کاهش دامنه (برابر $0/47$)، c سرعت انتشار موج و ρ وزن واحد حجم خاک بر حسب lb/ft^3 ، β ضریب کاهش دامنه (برابر $4/75$)، t زمان (که از لحظه رسیدن موج محاسبه می شود) و $t_a = \frac{R}{c}$ مدت زمان رسیدن موج است که در آن c سرعت انتشار موج است.

^۱ Coupling factor

۴. مشخصات مصالح

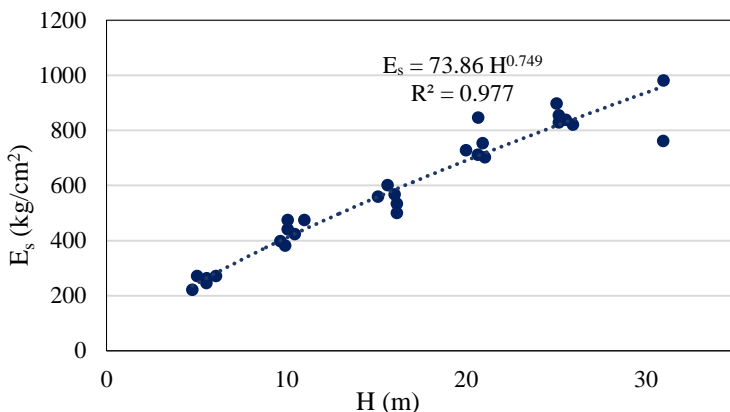
۱-۴. خاک

پرواضح است که خاک مناطق مختلف خصوصیات متفاوتی دارند. در این پژوهش برای داشتن دید بهتر از عملکرد مسلح کننده ژئوگرید در شرایط مختلف خاک بسته، ۹ نوع خاک مورد بررسی قرار گرفته است. معیار تقسیم‌بندی خاک‌ها در این بررسی، مقادیر زاویه اصطکاک داخلی و مدول الاستیسیته ذرات خاک بوده است. البته قابل ذکر است که چسبندگی خاک نیز در مطالعه آزمایشگاهی مورد بررسی قرار گرفته است.

در منابع و گزارش‌های مهندسی ژئوتکنیک عموماً برای خاک‌های غیرآلی، زاویه اصطکاک داخلی خاک در محدوده ۲۲ تا ۴۷ درجه و مقادیر مدول الاستیسیته آن، طبق جدول (۲) در حدود ۱۰ تا MPa ۱۷۲ ذکر شده است. البته زوایای کمتر از ۲۸ درجه و بیشتر از ۴۰ درجه بسیار نادر عنوان شده‌اند، لذا در این مطالعه برای عامل زاویه اصطکاک مقادیر ۲۸، ۳۴ و ۴۰ درجه مدنظر قرار گرفت. در این خصوص طالبی و موسیوند [۱۵] با استفاده از آزمایش پرسیومتری، مدول الاستیسیته مناطق مختلف شهر تهران را بررسی کرده و مقدار آن را فقط در اعمق بیش از ۳۰ متر بیش از ۱۰۰ مگا پاسکال مقادیر بیشتر از ۱۰۰ MPa صرف نظر شده و برای مدول الاستیسیته مقادیر ۱۰، ۵۰ و ۱۰۰ مگا پاسکال در نظر گرفته شده است. سایر مشخصات کلی خاک در جدول (۳) ذکر شده است.

جدول ۲: مقادیر مدول الاستیسیته خاک

E (MPa)	نوع خاک
۱۰/۳۵ - ۲۴/۱۵	ماسه‌ی سست
۱۰/۳۵ - ۱۷/۲۵	ماسه‌ی سیلیتی
۱۷/۲۵ - ۲۷/۶	ماسه با تراکم متوسط
۳۴/۵ - ۵۵/۲	ماسه مترکم
۶۹/۰ - ۱۷۲/۵	ماسه و شن



شکل ۱: نمودار مقادیر مدول الاستیسیته در عمق های مختلف خاک [۱۵]

۲-۴. ژئوگرید و پی

ژئوگریدها به دلیل مصارف متنوع، دارای انواع مختلفی هستند. در مطالعه حاضر از چهار لایه ژئوگرید با مشخصات فنی ذکر شده در جدول (۳) برای تسلیح بستر خاک استفاده شده است. در مورد ابعاد بهینه ژئوگرید مورد استفاده، تحقیقات انجام شده مقادیر مختلفی را گزارش نموده اند [۱۶]. طبق نتایج مطالعات پیشین، عرض بهینه لایه ی ژئوگرید حدود ۳ برابر بعد کوچک پی است و با تغییر این نسبت عملکرد تسلیح کاهش می یابد. از آنجائی که در این مطالعه پی بتنی به صورت مربعی با ابعاد ۲ متر مدل شده است، بنابراین مدل لایه های ژئوگرید نیز به صورت مربعی به ابعاد سه برابر عرض پی (۶ متر) لاحظ شده است. سایر مشخصات مدل پی، ژئوگرید و خاک در جدول (۳) ذکر شده است. ابعاد بستر نیز برای مدل سازی $12 \times 12 \times 5$ متر مکعب در نظر گرفته شد.

جدول ۳: مشخصات مصالح

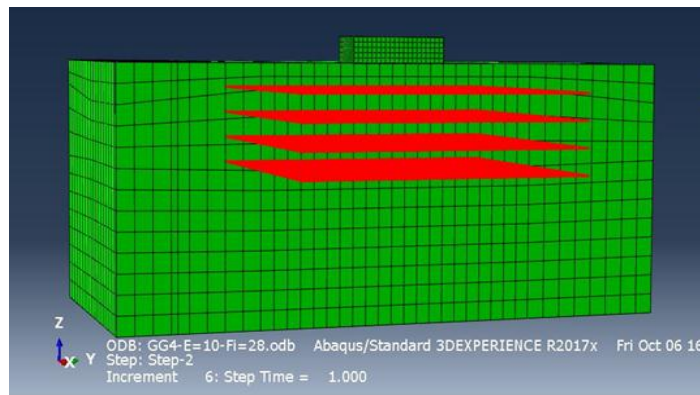
مشخصات		نوع
۰/۳	ضریب پواسون	خاک
۱۹۰۰	وزن واحد حجم	
$12 \times 12 \times 5$	(m ³)	
Mohr-Columb	مدل رفتاری	
۵۰۰	(Pa)	
${}^{\circ}-28^{\circ}40$	زاویه اصطکاک (ϕ)	
۱۰۰-۱۰	مدول الاستیسیته	
۶×۶	(m ²)	ژئوگرید
۵۰	مدول الاستیسیته	
۰/۳	ضریب پواسون	

۵	ضخامت معادل	
۶	مقاومت کششی	
۱۳۱CE	نوع ژئوگرید	
شش ضلعی	نوع چشمی	
۱۰۰	وزن واحد سطح	
۲۱	مدول الاستیسیته	پی
۰/۲	ضریب پواسون	
۲۴۰۰	وزن واحد حجم	
۲×۲×۰/۵	ابعاد (m ³)	

در کلیه مدل‌سازی‌های بستر مسلح با لایه ژئوگرید، پارامتر B/u (پوشش خاک روی اولین لایه ژئوگرید به بعد کوچک پی) برابر ۰/۲۵ لحاظ گردید. مقدار بهینه این پارامتر توسط محققین مختلف در محدوده ۰/۱ تا ۰/۳ گزارش شده است؛ همچنین فاصله لایه‌های ژئوگرید از همدیگر برابر ۵۰ سانتی‌متر در نظر گرفته شد [۱۶]. برای ارائه بهتر نتایج، خاک‌های مورد بررسی طبق جدول (۴) شماره‌گذاری شدند. در شکل (۲) نیز المان‌های بستر خاکی و لایه‌های تسليح نشان داده شده است.

جدول ۴: نام‌گذاری انواع خاک‌های بررسی شده

نوع خاک	زاویه اصطکاک داخلی بر حسب درجه	مدول الاستیسیته (MPa)
۱	۲۸	۱۰
۲	۳۴	
۳	۴۰	
۴	۲۸	۵۰
۵	۳۴	
۶	۴۰	
۷	۲۸	۱۰۰
۸	۳۴	
۹	۴۰	



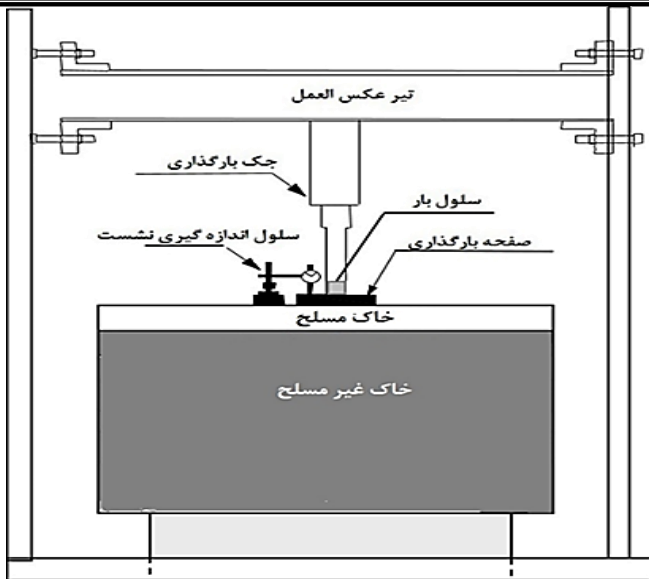
شکل ۲: المان های بستر خاکی، پی و لایه های تسلیح

۵. بحث و نتایج

۱-۵. مطالعه آزمایشگاهی

به منظور بررسی تأثیر میزان چسبندگی خاک بر عملکرد بستر مسلح تحت بارگذاری استاتیکی، از تجهیزات موجود در آزمایشگاه مکانیک خاک دانشگاه صنعتی خواجه نصیرالدین طوسی بهره گرفته شد. سیستم مورد استفاده شامل مجموعه مخزن خاک، مدل پی، سیستم بارگذاری، دستگاه بارش خاک و سازه نگهدارنده بوده و قابلیت بررسی گسیختگی مدل پی نواری سطحی به صورت کرنش مسطح را دارد.

مخزن موردنظر جهت اجرای آزمایش‌ها دارای ابعاد $100 \times 100 \times 100$ سانتی‌متر مکعب است. این مخزن شامل یک اسکلت فولادی است که سه وجه جانبی آن برای سبکی و سهولت در جابجایی تانک از MDF سیار با ضخامت کلی ۳۰ میلی‌متر ساخته شد. به منظور مشاهده و عکس‌برداری رفتار و تغییر شکل‌های حاصل در خاک و نظارت بر درستی پر شدن آن، یک وجه مخزن به صورت شفاف و از جنس پلکسی‌گلاس به ضخامت ۱۰ میلی‌متر در نظر گرفته شد. بارهای اعمالی توسط بلوک‌های بتونی بر روی هشت نیشی شماره ۱۰ متصل به پایه‌های قاب، بر آن اعمال شد. شکل (۳) تصویر مخزن آزمایش، سیستم‌های بارگذاری و قرائت و نیز سایر تجهیزات را نشان می‌دهد.



شکل ۳: نمایی شماتیک از تجهیزات و ساختار آزمایش

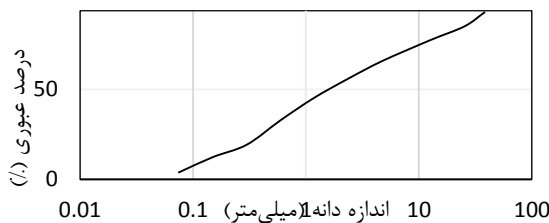
برای آماده‌سازی نمونه‌های خاک در آزمایشگاه روش‌های مختلفی از قبیل تراکم، ویبره و بارش وجود دارد. نکته حائز اهمیت در این تحقیق انتخاب روشی مناسب به منظور ایجاد یک خاک یکنواخت، با تخلخل مشخص و تکرارپذیری مناسب برای شرایط آزمایشگاهی بود. با توجه به مزایا و معایب هر یک از این روش‌ها و نیز نوع خاک مورد آزمایش، از روش تراکم برای آماده‌سازی بسترها در مخزن آزمایش استفاده شد. برای آماده‌سازی لایه‌های خاک، با در نظر گرفتن دانسیته مدنظر، وزن مورد نیاز از خاک برای هر لایه به ضخامت ۵۰ میلی‌متر توزین و درون مخزن آزمایش پخش گردید. پس از صاف کردن سطح خاک، عمل تراکم خاک با رها کردن وزنه مشخص انجام شده و با تکرار این کار برای لایه‌های بعدی، مخزن تا عمق ۸۰۰ میلی‌متر از خاک پر شد. در نمونه‌های مسلح نیز لایه‌ی ژئوگرید در عمق مدنظر قرار گرفت. نهایتاً مدل پی دایره‌ای به قطر ۱۵۰ میلی‌متر روی سطح بستر قرار گرفته و سلول‌های اندازه‌گیری بار و نشست نصب شدند.

از پارامترهای مهم خاک میزان چسبندگی آن است. در تحقیق حاضر به منظور بررسی ظرفیت باربری پی‌های واقع بر خاک چسبنده اصطکاکی، آزمایش‌هایی بر روی خاک دانه‌ای با افزودن میزان متفاوتی خاک رس انجام شد. بدین منظور علاوه بر خاک‌های ذکر شده در جدول (۴)، سه نوع خاک دیگر نیز مطابق جدول (۵) مدنظر قرار گرفت.

جدول ۵: مشخصات خاک های بررسی تأثیر چسبندگی

نوع خاک	پاسکال (درباره)	چسبندگی (کیلو زاویه اصطکاک داخلی)	شماره
۱*	۱/۵	۳۸	شماره
۲*	۳/۲	۳۲	شماره
۳*	۴/۱	۳۰	شماره

خاک ۱* از نوع ماسه ای بوده و چسبندگی پایینی داشت. نمودار دانه بندی این خاک در شکل (۴) آورده شده و در طبقه بندی استاندارد خاک SP قرار دارد. جهت بررسی تأثیر چسبندگی بر عملکرد تسلیح با ژئوگرید، دو نوع خاک رس به خاک ۱* افزوده شد که مشخصات خمیری دو نوع خاک رس نیز در جدول (۶) آورده شده است. بدین منظور خاک رس نوع اول را با خاک ۱* به میزان ۱۲٪ وزنی مخلوط کرده و خاک نوع ۲* حاصل شد. همچنین جهت بررسی تأثیر نوع خاک چسبنده بر ظرفیت باربری پی، رس نوع دوم به میزان ۱۲٪ وزنی به خاک نوع ۱* اضافه شده و خاک نوع ۳* حاصل شد.



شکل ۴: نمودار دانه بندی خاک ۱*

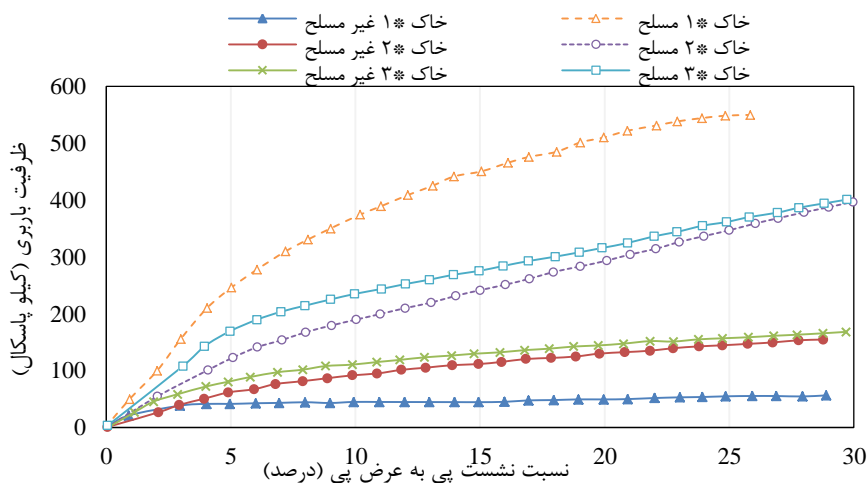
جدول ۶: مشخصات خاک های رس اضافه شده

طبقه بندی	Gs	PI	PL	LL	نوع رس
CL	۲/۶۰	۱۷	۲۱	۳۶	کائولن
CH	۲/۶۴	۲۵	۲۰	۴۵	محلی تهران

نمودار باربری پی واقع بر سه نوع خاک ۱*، ۲* و ۳* در شکل (۵) آورده شده است. همان طور که در این شکل دیده می شود، خاک های نوع ۲* و ۳* که میزان خاک رس بیشتری نسبت به خاک نوع ۱* دارند، در حالت غیر مسلح باربری بیشتری از خود نشان داده اند ولی باربری این دو نوع خاک در حالت مسلح شده، نسبت به حالت مسلح خاک نوع ۱* کمتر است. در واقع قرار دادن ژئوگرید در خاک، باعث

می‌شود تنش از خاک به مسلح کننده منتقل شده و بخشی از باربری خاک به وسیله اصطکاک بین مسلح کننده و خاک و یا مقاومت آن تحمل شود. در خاک‌های چسبنده اصطکاک کافی بین ذرات خاک و هم‌چنین بین ذرات خاک با لایه تسلیح به وجود نیامده و انتقال تنش از خاک به مسلح کننده به خوبی انجام نمی‌شود، بدین ترتیب نهایتاً لایه تسلیح کارایی لازم را ایفا نمی‌کند. در واقع در خاک‌های چسبنده، گسیختگی در سطح تماس قبل از رسیدن به مقاومت نهایی مسلح کننده اتفاق می‌افتد. هم‌چنین افزودن رس به خاک دانه‌ای باعث افزایش باربری خاک در حالت غیرمسلح شده و یا به عبارت دیگر افزایش چسبنده‌گی خاک در یک درصد تراکم ثابت، ظرفیت باربری را افزایش داده و بازدهی تسلیح را کاهش داده است. در نتیجه بازدهی تسلیح در خاک دانه‌ای نسبت به خاک چسبنده اصطکاکی بیشتر است.

مقایسه نتایج خاک *۱ و *۲ و *۳ نشان می‌دهد که تغییر نوع رس افزوده شده به ماسه یا به عبارتی تغییرات محدود چسبنده‌گی خاک تأثیر چندانی بر بازدهی تسلیح ایجاد نمی‌نماید و عمدۀ عامل مؤثر بر کارایی تسلیح، میزان اصطکاک بین ذرات خاک و لایه‌ی تسلیح جهت انتقال تنش‌های پی به آن است. با توجه به نتایج حاصل از مطالعه آزمایشگاهی و به منظور ارائه مطلوب‌تر نتایج، از بررسی پارامتر چسبنده‌گی در مدل‌سازی‌های عددی چشم‌پوشی خواهد شد. در واقع مقدار چسبنده‌گی در تمام مدل‌ها به صورت ثابت برابر ۱/۵ کیلو پاسکال در نظر گرفته شد تا لایه‌های تسلیح حداکثر میزان کارایی خود را داشته باشند.



شکل ۵: تغییرات بار-نشست خاک‌های *۱، *۲ و *۳ حاصل از مطالعه آزمایشگاهی

۲-۵. صحت سنجی مدل

با توجه به این که تمرکز اصلی مطالعه حاضر بررسی تأثیر مدول الاستیسیته و زاویه اصطکاک داخلی خاک بستر بر عملکرد بستر مسلح با ژئوگرید است، در ادامه پس از انجام صحت سنجی، مطالعه عددی کاملی در این خصوص انجام شده است. در تمامی مدل سازی های نرم افزاری، برای حصول اطمینان از عملکرد صحیح نرم افزار و مدل ساخته شده، جواب های بدست آمده از نرم افزار باید با نتایج آزمایش های میدانی و یا آزمایش های کوچک مقایسه گردد. بدین منظور با هدف کالیبراسیون مدل عددی، صحت آن ها توسط نتایج آزمایشگاهی بدست آمده در این پژوهش بررسی شده است. در این مطالعه برای شبیه سازی خاک از مدل رفتاری موهر-کولمب استفاده شده است [۱۷]. در مهندسی خاک، از این مدل برای تعیین مقاومت برشی خاک در سطوح مختلف تنش بهره برده می شود. بر اساس تئوری موهر-کولمب، گسیختگی یک ماده به سبب حداقل تنش های برشی یا محوری به تنهایی رخ نمی دهد، بلکه گسیختگی زمانی رخ می دهد که ترکیب خاصی از تنش های برشی و محوری اتفاق بیفت. این مدل رفتاری دارای پنج پارامتر کلیدی است که بر اساس آن ها ترکیب تنش عمودی و برشی به وجود آورنده شکست ماده تعیین می گردد [۱۸]. دو پارامتر الاستیک مدول الاستیسیته (E) و ضریب پواسون (ν) از قانون هوک، دو پارامتر زاویه اصطکاک (φ) و چسبندگی (c) از معیار شکست شکست و نیز پارامتر زاویه اتساع (ψ) از قانون جریان مطابق معادله (۳) بر معادله سطح تسلیم مدل موهر-کولمب تأثیر گذار هستند [۱۸].

$$f(\sigma_{ij}) = \sigma_1 - \sigma_3 - (\sigma_1 + \sigma_3) \sin\varphi - 2cc\cos\varphi \leq 0 \quad (3)$$

که در آن مقادیر σ_1 و σ_3 بیان کننده تنش های اصلی بیشینه و کمینه هستند. پارامترهای مورد نظر برای صحت سنجی مدل ها در جدول (۷) ارائه شده است.

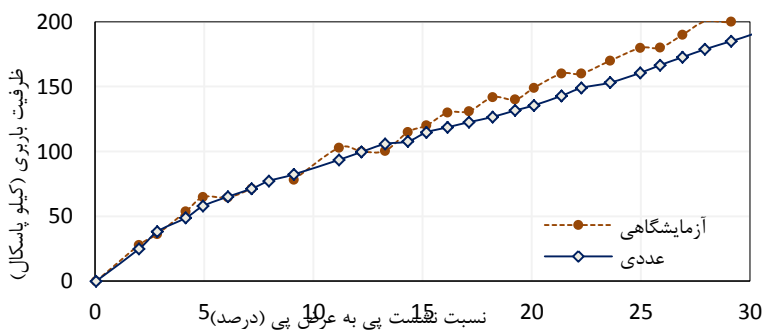
جدول ۷: مشخصات مصالح آزمایش های صحت سنجی

ψ	ϕ	ν	E (Mpa)	γ (KN/m ³)	نوع مصالح
۷	۳۶	۰/۳	۷۴	۱۷	خاک
-	-	۰/۲	۶۰۰۰	۲۷	پی
-	-	۰/۲	۸۰۰۰	۰/۵	ژئوگرید

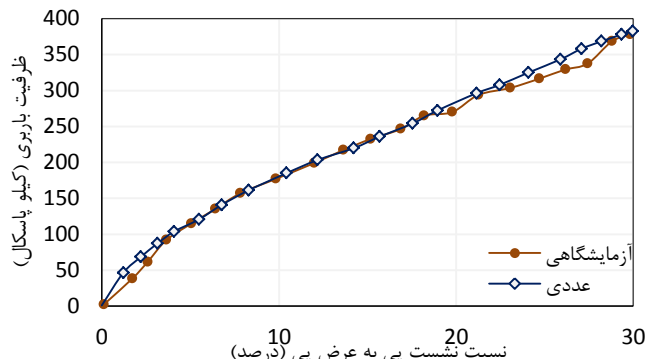
با توجه به اینکه صحت سنجی برای اطمینان از صحت نتایج خروجی نرم افزار انجام می شود؛ هدف از انجام صحت سنجی در این مطالعه، مدل سازی دقیق مدل آزمایشگاهی توضیح داده شده در بخش قبل در محیط اجزا محدود آباکوس، تحلیل آن و به دست آوردن نتایج مشابه نتایج آزمایشگاهی است. بدین منظور لازم است مدل هایی مشابه مدل آزمایشگاهی مذکور ساخته شده و بر اساس آن صحت سنجی

انجام شود. مدل‌های ساخته شده مشابهت کاملی از نظر هندسه مدل، تماس بین اجزا، روش بارگذاری و غیره با نمونه‌های میدانی داشتند.

مقایسه نتایج مدل‌های آزمایشگاهی و عددی برای نسبت‌های مختلف عمق قرارگیری لایه زئوگرید به عرض u/B در شکل‌های (۶) تا (۸) آورده شده است. همان‌طور که از این شکل‌ها برداشت می‌شود اختلاف میان نتایج آزمایشگاهی و عددی برای خاک غیر مسلح، خاک مسلح با نسبت $u/B = 0.25$ و نیز خاک مسلح با نسبت $u/B = 0.5$ به ترتیب حدود ۶/۵، ۴ و ۳ درصد است. بنابراین در میان حدود ۶۰ نمونه مورد بررسی، اختلاف مابین نتایج مدل‌سازی عددی با نمونه واقعی به طور میانگین حدود ۴/۵ درصد است که نشان می‌دهد نتایج مدل‌سازی با اطمینان مناسبی در محدوده قابل قبول قرار دارد. البته وجود این اختلاف کم بین نتایج می‌تواند مربوط به خطاهای انسانی یا تجهیزات موجود در محیط آزمایشگاه باشد، مشکلاتی از قبیل عدم وجود تراکم مناسب در نمونه‌های آزمایشگاهی، وجود خطا و تلورانس در بار اعمالی توسط جک هیدرولیکی، دقت تجهیزات قرائت و ثبت داده و یا مسائلی از این‌دست که می‌تواند سبب کاهش دقت در حصول پاسخ‌ها شوند.



شکل ۶: نمودار تنش-نشست برای خاک غیر مسلح



شکل ۷: نمودار تنش-نشست برای خاک مسلح $u/B=0.25$

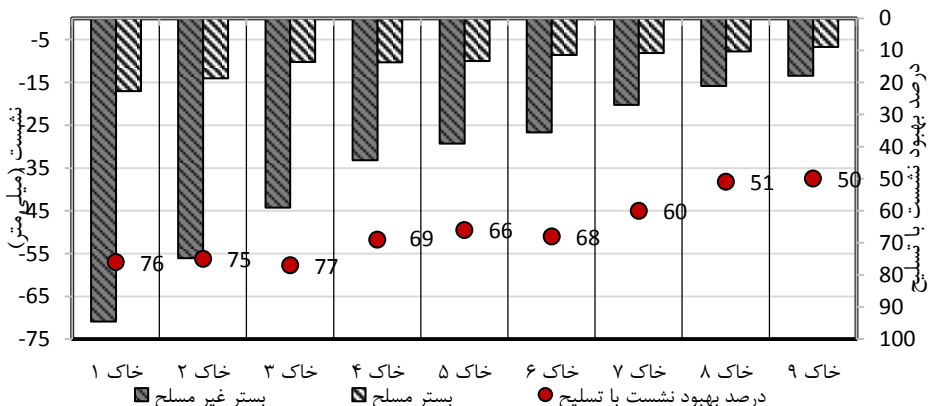
۳-۵. مدل‌سازی عددی

هدف اصلی این پژوهش، بررسی عملکرد ژئوگرید در مقاومسازی بسترهای خاکی تحت بارهای استاتیکی و انفجاری است و این در حالی است که انجام آزمایش‌های میدانی در حوزه انفجار با محدودیت‌های گسترده‌ای مواجه است. بنابراین برای غلبه بر این مشکل از مطالعه عددی و نرم‌افزار المان محدود آباکوس بهره برده شد.

۳-۱. بارگذاری استاتیکی

میزان نشست پی سطحی بر روی انواع خاک‌ها تحت بارگذاری استاتیکی در شرایط مسلح و غیرمسلح در شکل (۹) نشان داده شده است. مطابق شکل (۹) خاک‌های نوع اول تا سوم در حالت غیرمسلح دارای بیشترین میزان نشست شده‌اند. مقادیر این نشست‌ها به نحوی است که حتی در سازه‌های متداول نیز قابلیت بهره‌برداری سازه را مختل می‌کنند [۱۹]. این نوع خاک‌ها که بیشتر در زمین‌های باتلاقی مشاهده می‌شوند، با توجه به ماهیت خود، عملاً برای اکثر پروژه‌ها مسئله‌ساز بوده و غالباً تهرا راه برای حل این مشکل، جایگزینی آن‌ها با مصالح مرغوب است. البته بدیهی است که از نظر اقتصادی جایگزینی خاک هزینه‌های زیادی را بر پروژه تحمیل می‌نماید، ولی تسليح با ژئوگرید توانسته عملکرد آن‌ها را در محدوده قابل قبولی کنترل نماید. در این دسته از خاک‌ها با تسليح، مقدار نشست تا حدود ۱۷ میلی‌متر محدود شده و عملکرد لایه‌های تسليح در بهبود میزان نشست پی به طور متوسط در حدود ۷۶٪ بوده است.

مطابق شکل (۹)، با افزایش مدول الاستیسیته میزان نشست خاک‌های غیرمسلح نوع چهار تا ششم نسبت به حالت غیرمسلح در خاک‌های نوع اول تا سوم، کاهش یافته است. اما همین مقادیر نشست برای سازه‌هایی با درجه‌ی اهمیت بالا همچنان می‌تواند مسئله‌ساز باشد [۲۰]. در این خاک‌ها نیز تسليح با ژئوگرید توانسته میزان نشست‌ها را تا حدود ۱۰ میلی‌متر کاهش دهد و عملکرد لایه‌های تسليح در بهبود نشست پی به طور متوسط حدود ۶۷٪ بوده است.



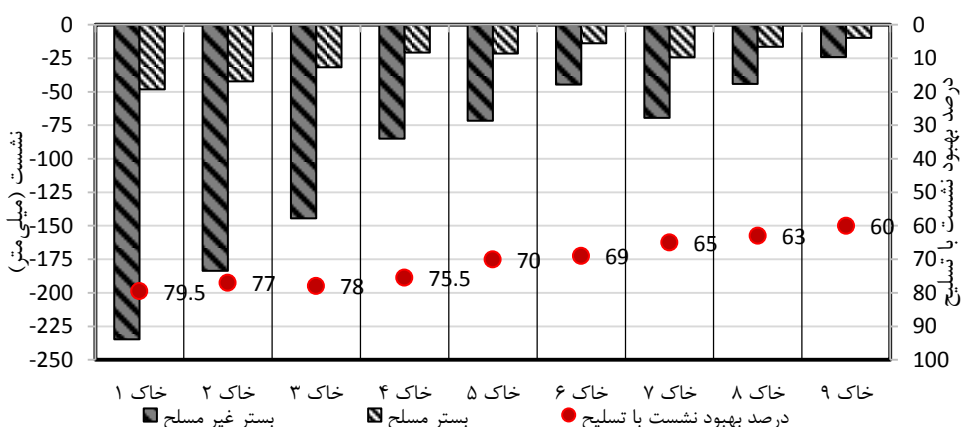
شکل ۹: عملکرد پی در بسترهای مسلح و غیرمسلح در حالت بارگذاری استاتیکی

همان طور که در شکل (۹) مشاهده می‌شود، به دلیل ظرفیت برابری بالای خاک‌های نوع هفتم تا نهم، در این خاک‌ها مقدار نشست‌ها نسبت به خاک‌های قبلی کاهش یافته است. علیرغم این‌که میزان نشست در این خاک‌ها برای پروژه‌های متداول می‌تواند قابل قبول باشد، ولی برای سازه‌های خاص که میزان نشست بسیار حائز اهمیت است (نظیر باند فرودگاهها، ساخت‌گاه نیروگاه‌های هسته‌ای و غیره)، همچنان می‌تواند مخاطره‌آمیز باشد. در خاک‌های نوع هفتم تا نهم، بهبود میزان نشست پی توسط لایه‌های تسليح به طور متوسط حدود ۵۴٪ بوده و میزان نشست‌ها در حالت بستر مسلح با ژئوگرید تا حدود ۸ میلی‌متر کنترل شده است.

نکته‌ی حائز اهمیت این است که در خاک‌هایی با ظرفیت برابری پایین‌تر میزان عملکرد ژئوگرید در بهبود نشست خاک به مراتب بیش از خاک‌های متراکم و دج است. همچنین تسليح با ژئوگرید در هر گروه سه‌گانه‌ی مذکور فارغ از میزان نشست در حالت غیرمسلح، مقادیر نشست‌ها را در محدوده‌ی مشخص و مطمئنی کنترل کرده است که این موضوع می‌تواند موجب افزایش ضربی اطمینان طراحی گردد و با اقتضادی سایر مراحل ساخت سازه را نیز تعديل نماید.

۴-۵. بارگذاری دینامیکی

نمودارهای مربوط به نشست پی در حالت بارگذاری انفجاری در شکل (۱۰) نشان داده شده است. روند کلی نشست‌ها مطابق حالت بارگذاری استاتیکی است ولی مقادیر نشست به خاطر اعمال بار عظیم ناشی از انفجار بر مجموعه بسیار زیادتر شده است. مطابق شکل (۱۰) در خاک‌های نوع اول تا سوم نشست‌های منتج از انفجار به نحوی است که عملأً گسیختگی کامل سیستم خاک و پی، خرابی کامل سازه‌ی مستقر بر پی را به دنبال خواهد شد. عملکرد لایه‌های تسليح در بهبود نشست پی واقع بر این خاک‌ها تحت بار دینامیکی حدود ۷۸٪ است. البته لازم به ذکر است حتی در حالات تسليح نیز نشست رخداده بسیار زیاد بوده و باعث تخریب سازه می‌شود.

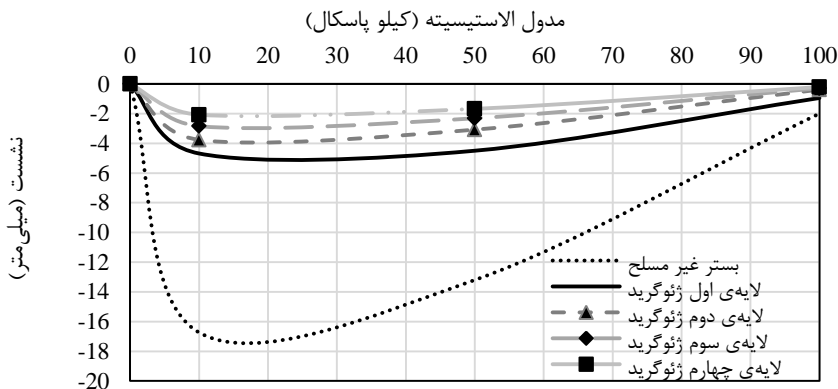


شکل ۱۰: عملکرد پی در بسترهای مسلح و غیرمسلح در حالت بارگذاری دینامیکی در خاک‌های چهارم تا ششم علی‌رغم این‌که مقدار نشست‌ها نسبت به خاک‌های اول تا سوم کاهش

یافته است؛ با این وجود مقدار نشست می تواند اختلال جدی در عملکرد و بهره برداری از سازه ایجاد نماید. تسليح با ژئوگرید میزان نشست پی در این خاکها را حدود ۷۲٪ بهبود بخشیده و به حدود ۲۰ میلی متر رسانده است. همچنین در خاکهای هفتمن تا نهم که ماهیت آن جز مصالح با برابری بالا می باشند، نشستها بسیار بیشتر از حالت بارگذاری استاتیکی بوده و استفاده از آنها در سازه های با کاربری های خاص و استراتژیک مخاطره آمیز خواهد بود. عملکرد لایه های تسليح در بهبود نشست پی واقع بر این خاکها حدود ۶۳٪ بوده است.

طبق نتایج به دست آمده، در همه خاکها، تسليح با ژئوگرید توانسته نشست بستر پی را کاهش دهد. همچنین در گروههای بررسی شده میزان نشستهای خاک مسلح در محدودهای خاص قرار گرفته است که این امر اطمینان طراحی را بالا برد و در نتیجه هزینه های ناشی از اعمال ضرایب اطمینان بزرگ تر بر طرح را کاهش می دهد. در مجموع می توان بیان نمود که میزان مدول الاستیسیته خاک بر میزان نشست آن بسیار مؤثر بوده و با کاهش آن نشست خاک به شدت افزایش می بابد. از طرفی با افزایش مدول الاستیسیته از میزان تأثیر مثبت ژئوگرید در تسليح خاک کاسته می شود. در واقع لایه تسليح در خاکهای مسئله دار عملکرد بهتری از خود نشان داده و در خاکهایی که خود مقاومت بالایی دارند، با وجود بهبود رفتار خاک، میزان کارایی تسليح نسبت به سایر خاکها کمتر می گردد. زیرا در خاکهایی با نشست کم، میزان خیز لازم برای بسیج نیروهای کششی در ژئوگرید ایجاد نشده و در نتیجه عملکرد پوسته ای لایه ای تسليح بسیج نمی گردد. به طوری که مطابق نتایج، با افزایش مدول الاستیسیته از ۱۰ به ۱۰۰ مگا پاسکال عملکرد آن از ۷۹٪ به ۶۰٪ کاهش می یابد.

میزان بهبود نشست توسط لایه های چهار گانه تسليح برای حالت بارگذاری استاتیکی و در زاویه اصطکاک ۳۴ درجه در شکل (۱۱) نشان داده شده است. همان طور که در این شکل مشاهده می شود تأثیر لایه های مختلف ژئوگرید در کاهش نشست خاک به یک مقدار نبوده و بهبود در لایه های فوقانی بیشتر از لایه های پایینی است. این موضوع به این دلیل است که برای ایجاد نیروی کششی در لایه های تسليح به میزان خاصی از جابجایی ذرات نیاز است. در واقع با کنترل بخشی از نشست توسط لایه های تسليح فوقانی، جابجایی لازم ذرات خاک به منظور درگیر شدن با مسلح کننده های لایه های تحتانی رخ نداده و در نتیجه این لایه های تسليح کمتر دچار کشش شده و عملکرد کمتری نسبت به لایه های تسليح بالاتر از خود نشان داده اند.

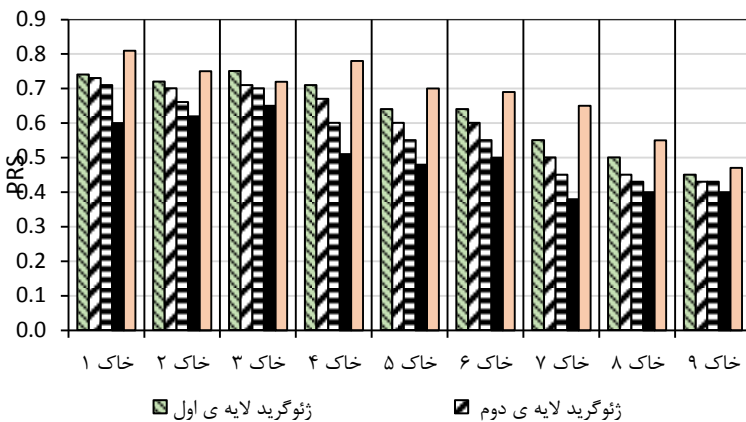


شکل ۱۱: تغییرات میزان نشست برای مدول الاستیسیته‌های-زاویه اصطکاک داخلی خاک ۲۴ درجه

از طرف دیگر در بارگذاری انفجاری، در همهی خاک‌ها به دلیل اعوجاج شدید لایه‌های تسلیح، میزان بهبود نشست نسبت به حالت بارگذاری استاتیکی بهتر بوده است. در واقع به دلیل نیروی شدید دینامیکی، جابجایی لازم برای درگیری ذرات خاک با لایه‌های تسلیح ایجاد شده و از سوی دیگر وضعیت گسیختگی به سواخ کنندگی سوق پیدا کرده است که نهایتاً منجر به عملکرد بهتر لایه‌های تسلیح نسبت به حالت بارگذاری استاتیکی شده است. همچنین از بررسی نتایج می‌توان دریافت که با افزایش مدول الاستیسیته خاک‌ها نیز تأثیر لایه‌ی اول و دوم تسلیح به مرتبه بیشتر از لایه‌های دیگر خواهد بود. به منظور ارائه بهتر عملکرد تسلیح خاک با ژئوگرید تحت اثر انواع بارگذاری، پارامتر بدون بعد PRSi (نسبت کاهش نشست در عمق ۱ در حالت بستر مسلح به بستر غیرمسلح) مطابق رابطه (۴) تعریف شده است.

$$PRSi = \left(1 - \frac{s_{rein}}{s_{unrein}} \right) \quad (4)$$

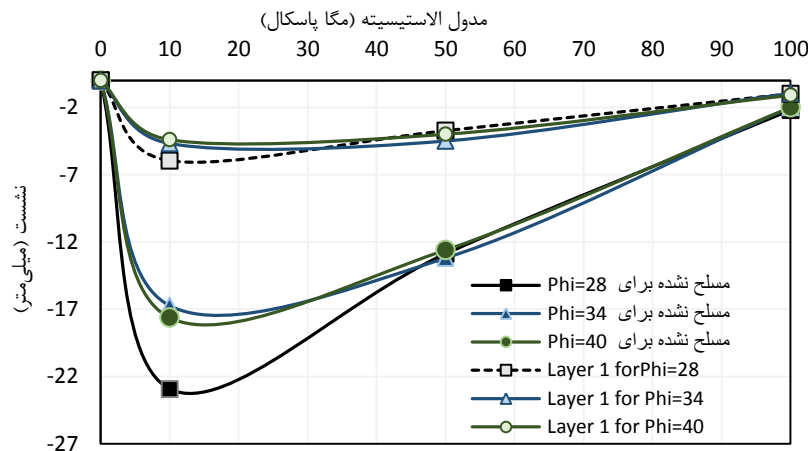
در این رابطه s_{rein} و s_{unrein} به ترتیب مقادیر نشست بستر برای بستر مسلح و غیرمسلح با نوع یکسان از مصالح هستند. شکل (۱۲) مقادیر PRSi خاک‌های مختلف را برای نشست لایه‌های مختلف پی و ژئوگرید نشان می‌دهد. در انواع خاک با مدول الاستیسیته‌های ۱۰، ۵۰ و ۱۰۰ MN/m² کاهش نشست در تراز لایه‌های تسلیح در حالت بارگذاری استاتیکی به ترتیب حدود ۰٪، ۷۰٪ و ۵۰٪ کاهش نشست در تراز لایه‌های تسلیح در حالت بارگذاری دینامیکی به ترتیب حدود ۸۰٪، ۷۳٪ و ۵۴٪ بوده است. در خاک‌های غیرمسلح نوع اول تا سوم که نشست پی در حالات بار استاتیکی و دینامیکی بیشتر از سایر انواع خاک بود، کارایی لایه تسلیح نیز بیشتر بوده است. در واقع با نشست بیشتر خاک، لایه ژئوگرید دچار خیز بیشتری شده و عملکرد غشا و پوسته‌ای لایه تسلیح که به صورت نیروی کششی-اصطکاکی است، نمایان می‌گردد.



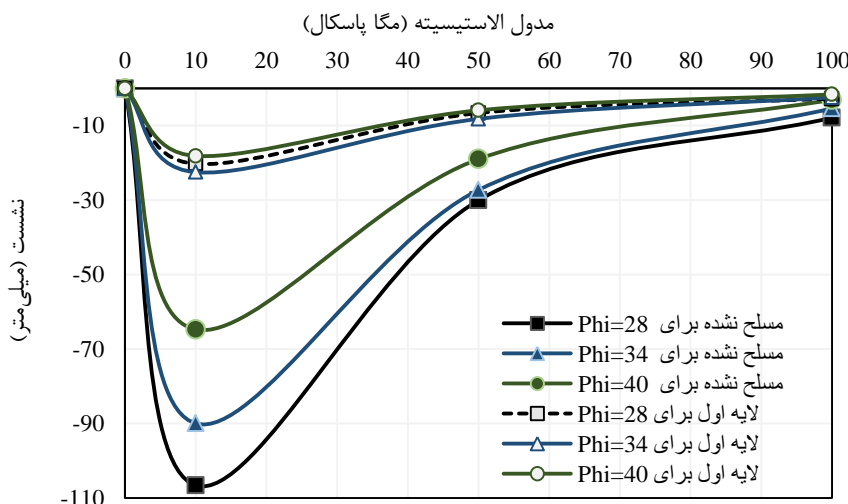
شکل ۱۲: مقادیر PRS خاک‌های مختلف

از طرف دیگر در تمامی انواع خاک، در حالت بارگذاری دینامیکی میزان بهبود نشست پی بیشتر از حالت استاتیکی بوده است. در واقع با اعمال بار شدید دینامیکی بر مجموعه، میزان نشست و تنش کششی در لایه‌ی تسليح افزایش یافته و نهایتاً عملکرد لایه تسليح بهتر شده است. در خاک نوع هفتم تا نهم که برابری بالایی داشته‌اند، میزان بهبود نشست نسبت به سایر انواع خاک کمتر شده و به مقادیر حدودی ۵۴٪ رسیده است. لازم به توضیح است که به دلیل اعوجاج لایه‌های تسليح در حالت بارگذاری انفجاری، بیشینه تغییرات هر یک از این لایه‌ها در نمودارها گزارش شده است.

شکل‌های (۱۳) و (۱۴) میزان تغییرات نشست خاک مسلح برای حالت‌های مختلف بارگذاری استاتیکی و دینامیکی در زاویه‌های اصطکاک مختلف و با تغییر مدول الاستیسیته را نشان می‌دهد. مطابق این شکل‌ها در غالب حالت‌های بارگذاری استاتیکی و دینامیکی، در خاک‌های با مدول الاستیسیته یکسان با افزایش ضریب اصطکاک داخلی خاک، میزان نشست آن کاهش می‌یابد. البته مقدار تغییرات آن در خاک‌های ضعیف‌تر با مدول الاستیسیته پایین‌تر به مرتبه بیشتر بوده و با بالاتر رفتن مدول الاستیسیته میزان تغییرات آن کاهش می‌یابد. از طرف دیگر هرچند در حالت تسليح مقدار تغییرات نشست در مدول‌های مختلف به نسبت کم است، ولی در مجموع می‌توان بیان نمود که با افزایش ضریب اصطکاک میزان عملکرد تسليح کاهش می‌یابد، به طوری که در حالت بارگذاری دینامیکی، در ضریب اصطکاک ۲۸ درجه مقدار حداقل و حداقل بیشود ۶۵ و ۸۱ درصد بوده و در ضریب اصطکاک ۴۰ درجه این مقادیر به ترتیب به ۴۷ و ۷۲ درصد کاهش یافته است.



شکل ۱۳: تغییرات میزان نشست برای زاویه اصطکاک‌های داخلی مختلف در حالت بارگذاری استاتیکی



شکل ۱۴: تغییرات میزان نشست برای زاویه اصطکاک‌های داخلی مختلف در حالت بارگذاری دینامیکی

۶. نتیجه‌گیری

نیروهای وارد بر هر سازه‌ای از قبیل ساختمان، سد، راه و غیره نهایتاً به خاک بستر منتقل می‌گردد و ناپایداری خاک بستر می‌تواند به خرابی کل سازه منجر شود. بروز ناامنی‌ها و انفجارهای متعدد در کشورهای مختلف، بررسی و تحلیل رفتار خاک‌های مختلف تحت بار انفجار را ضروری می‌سازد. بنابراین

پایدارسازی خاک هم به عنوان بستری برای احداث اینیه عمرانی حائز اهمیت بوده و از طرف دیگر، از نظر پدافند غیرعامل می‌تواند برای احداث خاک‌ریزها و سطوح بالایی سازه‌های مدفون بسیار حائز اهمیت باشد. هم‌چنین علاوه بر حفاظت از سازه‌های متداول، حفظ شریان‌های حیاتی مدفون در خاک از قبیل خطوط انتقال آب، نفت و گاز منوط به پایدارسازی بستر خاک است. نتایج حاصل از مطالعه رفتار بسترهای خاکی با مدول الاستیسیته و زاویه‌های اصطکاک داخلی متفاوت در حالت بارگذاری استاتیکی و انفجاری را می‌توان به صورت خلاصه به شرح زیر بیان نمود:

۱- استفاده از لایه‌های ژئوگرید سبب بهبود عملکرد خاک در انواع بسترهای مورد مطالعه شده و عملکرد تسلیح خاک زیر پی به صورت عمده تحت تأثیر مدول الاستیسیته دانه‌های خاک بستر است. در خاک‌هایی با مدول‌های الاستیسیته $10\text{, }50\text{, }100$ مگا پاسکال عملکرد لایه‌های تسلیح در بهبود نشست بی در حالت بارگذاری استاتیکی به ترتیب حدود 75% , 65% و 54% بوده است. این روند نشان می‌دهد که در خاک‌هایی که دارای نشستهای زیادتری هستند (مدول الاستیسیته پایین‌تر)، عملکرد لایه‌های ژئوگرید در بهبود نشست پی بسیار بهتر بوده است. زیرا به دلیل برابری کم این نوع مصالح، قسمت میانی لایه‌ی تسلیح دچار خیز بیشتری شده و لبه‌های لایه‌ی تسلیح به صورت عضو کششی عمل نموده و به خاطر قفل و بست با خاک پیرامون مانع از ادامه‌ی نشست‌ها شده است.

۲- بهبود نشست پی در بارگذاری دینامیکی نسبت به بارگذاری استاتیکی افزایش یافته و این میزان بهبود در مدول الاستیسیته‌های $10\text{, }50\text{, }100$ مگا پاسکال به ترتیب حدود 79% , 72% و 54% است.

۳- در مطالعه صورت گرفته، عملکرد لایه‌ی تسلیح در حالت بارگذاری دینامیکی به طور متوسط حدود 60% بیشتر از حالت بارگذاری استاتیکی بوده است. زیرا در حالت دینامیکی بار بسیار بیشتری نسبت به حالت استاتیکی بر مجموعه خاک-ژئوگرید وارد شده و باعث ایجاد خیز در لایه‌ی تسلیح و ایجاد یک نیروی کششی اضافی در آن می‌گردد و کارایی ژئوگرید بیشتر نمایان می‌گردد.

۴- در غالب خاک‌های با مدول الاستیسیته یکسان با افزایش ضریب اصطکاک داخلی خاک، میزان نشست آن کاهش می‌یابد. البته مقدار تغییرات آن در خاک‌های ضعیفتر با مدول الاستیسیته پایین‌تر به مرأت بیشتر بوده و با بالاتر رفتن مدول الاستیسیته میزان تغییرات آن کاهش می‌یابد.

۵- با افزایش ضریب اصطکاک میزان عملکرد تسلیح کاهش می‌یابد، به طوری که در حالت بارگذاری دینامیکی، در ضریب اصطکاک 28 درجه مقدار حداقل و حداقلتر بهبود 65 و درصد 81 و در ضریب اصطکاک 40 درجه این مقادیر به ترتیب به 47 و 72 درصد کاهش یافته است. در واقع در این موارد اصطکاک بین ذرات خاک بیشتر از اصطکاک ناشی از قفل و بست لایه تسلیح با ذرات خاک بوده و عملکرد لایه تسلیح کمتر می‌شود.

۶- بهبود نشست در خاک با افزایش لایه‌های تسلیح رابطه خطی ندارد. در واقع لایه‌های مختلف تسلیح عملکرد یکسانی در بهبود نشست در خاک ندارند و لایه‌های اولیه تسلیح نقش بیشتری از لایه‌های زیرین در این خصوص دارند.

-۸- افزایش چسبندگی خاک در درصد تراکم ثابت، ظرفیت باربری را افزایش داده و بازدهی تسلیح را کاهش می‌دهد. هم‌چنین تغییر نوع رس افروده شده به ماسه تأثیر چندانی بر بازدهی تسلیح ایجاد نمی‌نماید و عمدۀ عامل مؤثر بر کارایی تسلیح، میزان اصطکاک بین ذرات خاک و لایه تسلیح جهت انتقال تنش‌های پی به آن است.

تعارض منافع

هیچ گونه تعارض منافع از سوی نویسنده‌گان گزارش نشده است.

تشکر و قدردانی

از تمامی دانشجویان تحصیلات تکمیلی دانشگاه پدافند هوایی خاتم النبیاء(ص) که در این پژوهش به عنوان نمونه پژوهش حضور داشتند، تشکر و قدردانی مینماییم.

۷. منابع

- [1] H. Salehi, M. Heshmati rad and M. Vaseli khabbaz, “Numerical analysis of the penetrating of non-nuclear bunker buster bombs in underground structures and the changes of the energy in the projectile” *Journal of Aeronautical Engineering*, (2015), **17** (2), pp. 23-43 (In persian).
- [2] H. Sahehi, G. Jafari and E. Barzegar Babayi, “Determine the optimum airplane hangar shape to maintain stability against explosive loads” *Asas Journal*, (2018), **20** (52), pp. 34-51 (In persian).
- [3] A.D.V. Karimi and G. Jafari, “Evaluation of Semi-Deeped Foundation under Blast Loading” *Passive Defence Sci. Tech*, (2019), **9** (4), pp. 415-28 (In persian).
- [4] P. Sinha, K. Anusha Raj, S. Kumar and D. Singh, “Mechanical Behavior of Geotextile and Geogrids on Soil Stabilization: A Review” *Recent Advances in Mechanical Engineering*, (2023), pp. 299-308.
- [5] B.M. Das, E.C. Shin and M.T. Omar, “The bearing capacity of surface strip foundations on geogrid-reinforced sand and clay—a comparative study” *Geotechnical & Geological Engineering*, (1994), **12** (1), pp. 1-14.
- [6] M. Askari, H.R. Razeghi and J. Mamaghanian, “Numerical study of

geosynthetic reinforced soil bridge abutment performance under static and seismic loading considering effects of bridge deck” *Geotextiles and Geomembranes*, (2021), **49** (5), pp. 1339-54.

[7] J. Zhang, M. Ji, Y. Jia, C. Miao, C. Wang, Z. Zhao and Y. Zheng, “Anisotropic Shear Strength Behavior of Soil–Geogrid Interfaces” *Applied Sciences*, (2021), **11** (23), pp. 11387.

[8] E.C. Shin, H.H. Kang and J.J. Park, “Reinforcement efficiency of bearing capacity with geocell shape and filling materials” *KSCE Journal of Civil Engineering*, (2017), **21** (5), pp. 1648-56.

[9] G.R. Nouri and R. Hashemi “Effect of Shotcrete on the performance of arched soil walls against explosive load”, *1st Ntl. Conf. Soil Mech Eng*, (2014) (In persian).

[10] S.H. Chew, S.A. Tan, G.P. Karunaratne and C.C. Ng, “Performance of geosysthetic reinforced soil wall and reinforced earth wall subject to blast loading: experimental and numerical study” *Reinforced Soil Engineering: Advances in Research and Practice*, (2003), pp. 359.

[11] A. Hozuri, “Effects of conventional weapons on armed soil walls”, University of Malek Ashtar, Tehran, (2010) (In persian).

[12] J. Khosropour and K. Vahedi, “Analysis of the explosion, its types, tensile waves and impact of it”, Proc. Int. Conf. new Horiz. Basic Tech. Sci. Eng., Tehran, (2017).

[13] T. Chakraborty, “Analysis of hollow steel piles subjected to buried blast loading” *Computers and Geotechnics*, (2016), **78**, pp. 194-202.

[14] US Department of the Army Technical Manual “TM5-855-1: Fundamentals of Protective Design for Conventional Weapons”, Washington D.C, (1986).

[15] H. Talebi and M. Musivand “ Study of Tehran's Soil Elastic Modulus using a Pressuremeter Test”, *Proc. 1st Ntl. Conf. Geotech. Eng.*, (2014) (In persian).

[16] A. Kumar and S. Saran, “Bearing capacity of rectangular footing on

reinforced soil” *Geotechnical & Geological Engineering*, (2003), **21** (3), pp. 201-24.

[17] M. Firoj and A. Bahuguna, “Evaluation of liquefaction potential using ground response analysis incorporating mohr–coulomb model” *Innovative Infrastructure Solutions*, (2022), **7** (3), pp. 1-20.

[18] M. Javadi, S. Sayadi, M. Sharifzadeh and K. Shahriar, “Evaluation of Soil Constitutive Model Effects on Numerical Modeling of Settlement Induced by Tunneling in Urban Area, Case Study of the Amirkabir Tunnel” *Journal of Analytical and Numerical Methods in Mining Engineering*, (2020), **10** (24), pp. 119-36.

[19] Office of the building national code, “Seventh the building national code: pavement and pavement development”, Iran development Publisher, first edition (2014).

[20] Adjutancy of Engineering & Technology “Issue 037: Guidance for Geotechnical Studies and Designing of Oil Industry in Pars Special Economic Zone”, Tehran Ministry of Oil, (2005) (In persian).